

# ВОЗМОЖНОСТИ ИСПОЛЬЗОВАНИЯ РАДИОЧАСТОТНЫХ ОТКЛИКОВ В КАЧЕСТВЕ ИНФОРМАЦИОННЫХ ПАРАМЕТРОВ, ХАРАКТЕРИЗУЮЩИХ СОСТАВ И КОНЦЕНТРАЦИЮ ВОДНЫХ РАСТВОРОВ ЭЛЕКТРОЛИТОВ

Марковский Ю.Е.

E-mail: yuriy\_markovskyy@hotmail.com

## Abstract

*Markovskyy Y.E. Possibilities of using of the RF-responses as the informative parameters for the definition of concentration and composition of the water electrolyte solutions. The problem of definition of water electrolyte composition and concentration are discussed. Structure chart of the device, allowing defining of RF-characteristics of the water solutions, is proposed.*

**Общая постановка проблемы.** Большинство проводимых в настоящее время гидрохимических, геологических, санитарных и экологических измерений, выполняемых в науке, промышленности, сельском хозяйстве и экологии, связаны предварительным выполнением трудоемкого химического анализа природных вод и водных вытяжек почв. Поэтому вполне понятно стремление исследователей найти более быстрые и точные методы анализа этих объектов. Существующие на данный момент методики и приборы для определения общей минерализации воды и компонентного состава водных растворов электролитов [1-3] не обладают необходимой оперативностью и информативностью. Поэтому в настоящее время крайне необходима экспресс-методика, использующая портативную аппаратуру, и отвечающая таким требованиям как оперативность определения необходимых параметров, достаточная для практических целей точность определения и высокая воспроизводимость результатов.

Радиочастотные характеристики водных растворов электролитов.

Используемые в настоящее время экспресс-методики базирующиеся, в основном, на измерениях электросопротивления недостаточно информативны, поскольку не позволяют определить наличие конкретных химических веществ в анализируемой пробе. Более того, даже расчет общего солесодержания воды проводится исходя из некоторого заложенного в расчет соотношения групп катионов и анионов в измеряемой пробе. Существует также ряд чисто методических трудностей, присущих измерениям электропроводности на постоянном или переменном токе. На наш взгляд подобные методики полностью исчерпали свои возможности, и ожидать появления новых идей, позволяющих увеличить их информативность, не следует.

Большой интерес представляют методы, использующие измерения на СВЧ порядка десятков гигагерц. Однако современный уровень развития электроники не позволяет создать портативную аппаратуру, включающую такие генераторы.

В то же время практически не существует исследований, рассматривающих поведение водных растворов электролитов на радиочастотах (порядка сотен и тысяч килогерц). Хотя технически возможно создать портативную аппаратуру с генераторами таких частот. Скорее всего, это связано с большой сложностью интерпретации полученных результатов. Однако для практических целей не столь уж важен физический смысл получаемых величин. Важно только, чтобы измеряемый отклик возможно было приписать конкретному химическому веществу (катиону, аниону или даже соли) и чтобы результаты были воспроизводимы.

Одним из вариантов такого подхода может быть прибор, определяющий частотные и температурные зависимости и позволяющий рассчитать диэлектрическую проницаемость образца раствора на частотах от 1 до 650 кГц. Структурная схема измерителя приведена ниже на рис. 1.

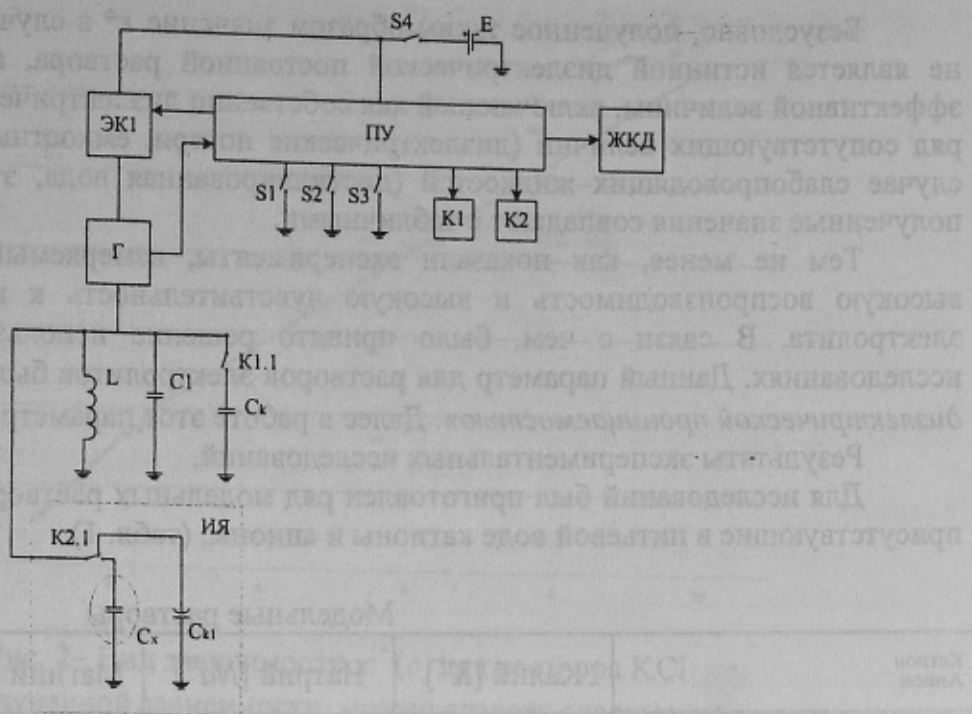


Рис. 1 – Структурная схема измерителя (ЭК1 – электронный ключ; ПУ – процессорное устройство; ЖКД – жидкокристаллический дисплей; Г – генератор ВЧ; S1...S3 – кнопки выбора режима работы ПУ; K1, K2 – электромагнитные герконовые реле; L – катушка индуктивности контура генератора ВЧ; C1 – частотозадающий конденсатор контура; Ck – калибровочный конденсатор контура; Cx – емкостной датчик, заполняемый исследуемой средой; K1.1 – триммер компенсации статической компоненты Cx; ИЯ – измерительная ячейка; S4 – выключатель питания; Е – батарея питания; K1.1 – контакт реле K1, подключающий калибровочный конденсатор; K2.1 – контактная группа реле K2, подключающая емкостной датчик).

Прибор позволяет измерить основную частоту ( $f_1$ ) контура  $L C_1$

$$f_1 = \frac{1}{2\pi\sqrt{L(C_1 + C_{k1})}};$$

вспомогательную частоту ( $f_2$ ) контура  $L(C_1 + C_k)$

$$f_2 = \frac{1}{2\pi\sqrt{L(C_1 + C_k + C_{k1})}};$$

частоту резонанса контура ( $f_3$ ), состоящего из  $L, C_1, C_x$ ,

$$f_3 = \frac{1}{2\pi\sqrt{L(C_1 + C_x)}};$$

и рассчитать диэлектрическую проницаемость ( $\epsilon^*$ ) среды по формуле:

$$\epsilon^* = b \frac{(f_1/f_3)^2 - 1}{(f_1/f_2)^2 - 1} \cdot [C_k],$$

где  $b$  – константа, определяемая геометрией датчика,  $C_k$  – числовое значение емкости калибровочного конденсатора (программой предусмотрена возможность оперативного изменения константы  $C_k$  при калибровке прибора по известным диэлектрическим жидкостям).

Безусловно, полученное таким образом значение  $\epsilon^*$  в случае растворов электролитов не является истинной диэлектрической постоянной раствора, а имеет смысл некоторой эффективной величины, включающей как собственно диэлектрическую проницаемость, так и ряд сопутствующих величин (диэлектрические потери, емкостные эффекты и т.д.). Хотя в случае слабопроводящих жидкостей (дистиллированная вода, этиловый спирт, глицерин) полученные значения совпадают с табличными.

Тем не менее, как показали эксперименты, измеряемый параметр имеет весьма высокую воспроизводимость и высокую чувствительность к изменениям концентрации электролита. В связи с чем, было принято решение использовать его в дальнейших исследованиях. Данный параметр для растворов электролитов был назван нами «кажущейся диэлектрической проницаемостью». Далее в работе этот параметр обозначается как  $\epsilon^*$ .

#### Результаты экспериментальных исследований.

Для исследований был приготовлен ряд модельных растворов, содержащих основные присутствующие в питьевой воде катионы и анионы. (табл. 1)

Модельные растворы

Таблица 1

Катион Анион	Калий $[K^+]$	Натрий $[Na^+]$	Магний $[Mg^{2+}]$	Кальций $[Ca^{2+}]$
Хлорид $Cl^-$	KCl	NaCl	MgCl <sub>2</sub>	CaCl <sub>2</sub>
Бикарбонат $HCO_3^-$	KHCO <sub>3</sub>	-	Mg(HCO) <sub>3</sub>	Ca(HCO) <sub>3</sub>
Карбонат $CO_3^-$	K <sub>2</sub> CO <sub>3</sub>	Na <sub>2</sub> CO <sub>3</sub>	-	-
Сульфат $SO_4^-$	K <sub>2</sub> SO <sub>4</sub>	Na <sub>2</sub> SO <sub>4</sub>	MgSO <sub>4</sub>	CaSO <sub>4</sub>
Нитрат $NO_3^-$	NaNO <sub>3</sub>	-	-	-

Методика проведения экспериментов при определении зависимостей кажущейся диэлектрической проницаемости от концентрации для отдельных растворов электролитов заключалась в следующем:

- для каждого конкретного электролита готовился стандартный раствор с концентрацией электролита 10 мг-экв/л;
- далее к 99 мл дистиллированной воды добавляли 1 мл стандартного раствора (1-я точка с реальной концентрацией  $c_1 = 0,1$  мг-экв/л). Полученный таким образом раствор тщательно перемешивали и проводили три последовательных измерения соответствующих параметров при контроле температуры;

- после измерений к 99 мл этого раствора снова добавляли 1 мл стандартного раствора. Описанную процедуру повторяли и таким образом получали остальные точки на соответствующих концентрационных зависимостях.

- Расчет реальных концентраций, полученных при использовании данной методики растворов, проводили по формуле:

$$- c_{i+1} = c_i - 0,01 \cdot c_i + c_1, \quad i = 1..n.$$

- В точке соответствующей концентрации раствора примерно 1 мг-экв/мл проводили корректировку раствора, поскольку половину данного раствора оставляли для проведения температурных измерений. После окончания измерений весь цикл повторяли. Для построения соответствующих зависимостей кажущейся диэлектрической проницаемости от концентрации раствора использовали среднее арифметическое значение из шести измерений (два параллельных опыта по три измерения).

Вид зависимости  $\epsilon^*(c)$  для раствора KCl приведен на рис. 2.

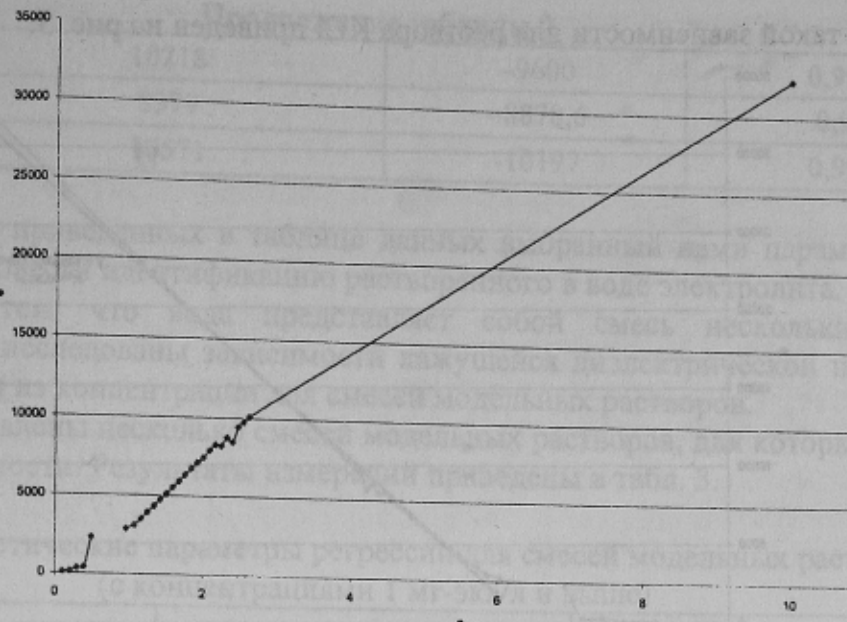


Рис. 2 – Вид зависимости  $\epsilon^*(c)$  для раствора KCl

Анализируя вид полученной зависимости, можно сделать следующие выводы:

- На используемых нами частотах наблюдается сильный рост кажущейся диэлектрической проницаемости.
- Второй характерной особенностью, как это хорошо видно из приведенного рисунка, является существование двух областей с существенно различным ходом зависимостей измеряемого параметра от концентрации – область малых концентраций (0,1-0,7 мг-экв/л), и вторая область, которая начинается с концентраций порядка 1 мг-экв/л., – между которыми существует разрыв, т.е. область, в которой измерение кажущейся диэлектрической проницаемости не представляется возможным.

Аналогичная картина наблюдалась для всех приготовленных растворов.

Причиной разрыва, наблюдаемого на графике может быть как попадание отношения  $[(f_1/f_2)^2 - 1]$  в формуле (1) в область недопустимых значений, так и проявление на этих частотах эффекта аномальной проводимости [4], который при постоянном токе наблюдается у водных растворов электролитов при очень высоких концентрациях.

Определение истинного вида зависимости диэлектрической проницаемости от концентраций растворенной соли на частотах порядка сотен килогерц вызывает существенные затруднения. Дело в том, что, не смотря на то, что количественная оценка влияния различных ионов на диэлектрическую проницаемость имеет важнейшее значение для понимания природы взаимодействий в растворах электролитов, до настоящего времени практически не существует работ, посвященных этому вопросу. Теоретические аспекты данной проблемы также далеки от разрешения. Не имеется даже единого мнения о том, возрастает или уменьшается диэлектрическая проницаемость раствора с ростом концентрации электролита. Экспериментальных же данных о диэлектрических свойствах жидкостей на радиочастотах вообще нет.

В нашем случае определить истинный вид такой зависимости еще сложнее, поскольку, как мы уже указывали ранее (см. ранее), измеряемый нами параметр не является собственно диэлектрической проницаемостью, хотя, несомненно, с ней связан.

Несомненным является также связь измеряемого параметра с электропроводностью и ионной силой раствора электролита. Поскольку все известные уравнения электропроводности, как теоретические (закон Онзагера и т.д.) [5], так и эмпирические оперируют с корнем квадратным из концентрации, то логично использовать в качестве независимого аргумента квадратный корень из концентрации.

Пример такой зависимости для раствора KCl приведен на рис. 3.

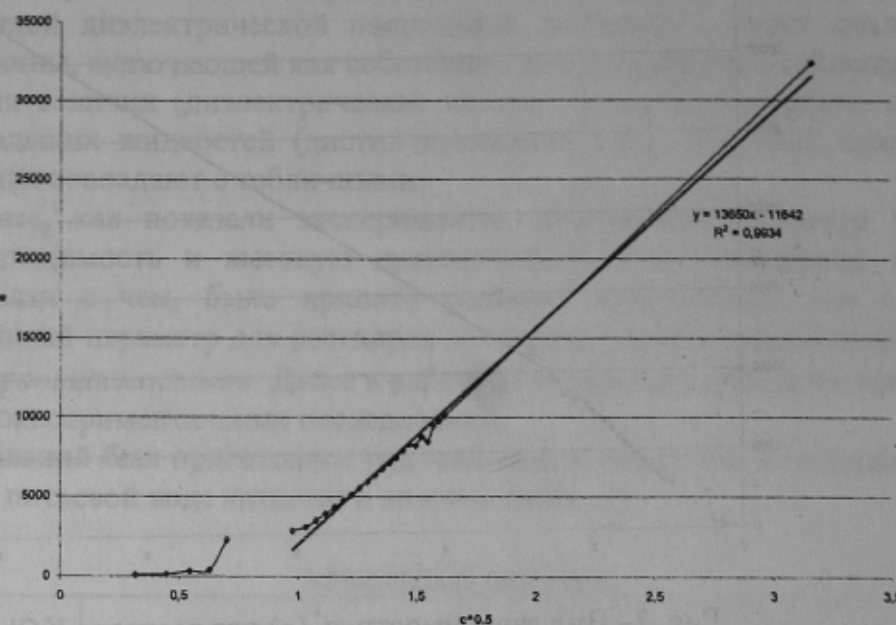


Рис. 3 – Вид залежності для  $\epsilon^*(\sqrt{c})$  розчину KCl і аппроксимація її другого участка прямою

Аналіз отриманих залежностей показав, що:

- Для всіх електролітів існують дві області залежності  $\epsilon^*(\sqrt{c})$ : перва область (низькі концентрації) – концентрації від 0 мг-екв/л до 0,6-0,8 мг-екв/л, друга область – від концентрацій порядку 1 мг-екв/л і вище;
- В області концентрацій від 0 мг-екв/л до 0,6-0,7 мг-екв/л залежність  $\epsilon^*(\sqrt{c})$  носить ярко виражений не лінійний характер.
- В області концентрацій від 0,6-0,7 мг-екв/л до 1 мг-екв/л, проведення ізмірювань кажущоїся діелектричної проніцаемості неможливе (разрив на рис. 2 і рис. 3).
- Для концентрацій 1 мг-екв/л і вище набувається хороша аппроксимація залежності  $\epsilon^*(\sqrt{c})$  прямою (см. рис. 3). Величина достовірності аппроксимації для всіх залежностей знаходиться в межах 0,91-0,99.

Таким чином, можна заключити, що для визначення концентрацій розчинів більше 1 мг-екв/л по залежностям кажущоїся діелектричної проніцаемості зручно використовувати залежність  $\epsilon^*(\sqrt{c})$ .

Для всіх модельних розчинів отримані параметри аппроксимуючих прямих (наклон і перетин осі) для області концентрацій 1 мг-екв/л і вище. Параметри аппроксимуючих прямих і величина достовірності аппроксимації для модельних розчинів наведені в табл. 2.

Таблиця 2

Статистичні параметри регресії для модельних розчинів  
(з концентраціями 1 мг-екв/л і вище)

Растворене вещество	Угловий коэффициент (k)	Пересечение с осью ординат (b)	Достоверность ап- проксимации ( $R^2$ )
KCl	13650	-11642	0,9934
NaCl	12180	-11044	0,9976
NaNO <sub>3</sub>	11375	-9914,9	0,9988
Na <sub>2</sub> SO <sub>4</sub>	11286	-10730	0,99978
Na <sub>2</sub> CO <sub>3</sub>	9046	-9321	0,9956

## Продолжение таблицы 2

MgCl <sub>2</sub>	10218	-9600	0,9978
K <sub>2</sub> CO <sub>3</sub>	8379	-8878,6	0,997
KHCO <sub>3</sub>	10571	-10197	0,9993

Как видно из приведенных в таблице данных выбранный нами параметр позволяет достаточно точно провести идентификацию растворенного в воде электролита.

В связи с тем, что вода представляет собой смесь нескольких различных электролитов, были исследованы зависимости кажущейся диэлектрической проницаемости от квадратного корня из концентрации для смесей модельных растворов.

Были приготовлены несколько смесей модельных растворов, для которых были сняты аналогичные зависимости. Результаты измерений приведены в табл. 3.

Таблица 3  
Статистические параметры регрессии для смесей модельных растворов  
(с концентрациями 1 мг-экв/л и выше)

Растворенное вещество	Угловой коэффициент (k)		Пересечение с осью ординат (b)	
	Эксперимент	Расчет	Эксперимент	Расчет
0,5KCl+0,5NaCl	12543	12915	-9101	-11343
0,3KCl+0,7NaCl	13364	12621	-8706,1	-11223,4
0,7KCl+0,3NaCl	12807	13209	-9946,1	-11462,6
0,5NaCl+0,5Na <sub>2</sub> SO <sub>4</sub>	10833	11733	-9304	-10887
0,5NaCl+0,5NaCO <sub>3</sub>	9651,7	10613	-10346	-10182,5
0,5NaCl+0,25NaCO <sub>3</sub> +0,5Na <sub>2</sub> SO <sub>4</sub>	10528	11173	-10040	-10534,75

В результате проведенного исследования было установлено, что для смесей модельных растворов угловые коэффициенты  $k$  аппроксимирующих прямых зависимостей  $\epsilon^*(\sqrt{c})$  стремятся в сторону средних арифметических значений соответствующих параметров аппроксимирующих прямых растворов, входящих в смесь.

#### Выходы:

1. На основании анализа литературных данных выбран перспективный физический метод определения концентрации и химического состава водных растворов электролитов.

2. Разработан измеритель радиочастотных характеристик растворов электролитов, позволяющий идентифицировать конкретные химические вещества, содержащиеся в растворе.

3. Введен параметр, названный «кажущейся диэлектрической проницаемостью», который может быть положен в основу методики расчета состава и концентрации водных растворов электролитов.

#### Литература

- Зори А.А., Коренев В.Д., Хламов М.Г. Методы, средства, системы измерения и контроля параметров водных сред. – Донецк: РИА ДонГТУ, 2000. – 388с.: ил.
- A Hounslow. Water quality data analysis and interpretation. CRC/LEWIS, 1998. 400p.
- Timothy Davie. Fundamentals of Hydrology. Taylor & Francis, 2002. 272p.
- Измайлов Н.А. Электрохимия растворов. Изд. 3-е, испр., М.: Химия, – 1976. 488с.
- Р. Робинсон, С. Стокс. Растворы электролитов. Пер. с англ. под ред. А.Н. Фрумкина, М.: Изд-во иностранной литературы, – 1963. 646с.